## Ускорение электронов при воздействии тераваттного фемтосекундного лазерного излучения на кластеры азота

 $M. M. Назаров^{+1}$ ,  $T. A. Семенов^+$ ,  $A. A. Таусенев^{+*}$ ,  $M. B. Чащин^+$ ,  $\Pi. A. Щеглов^+$ ,  $A. B. Лазарев^*$ ,  $\mathcal{A}. A. Сидоров-Бирюков^{+*}$ ,  $A. B. Митрофанов^{+*}$ ,  $B. M. Гордиенко^{+*}$ ,  $B. Я. Панченко^{+*}$ 

+ Федеральное государственное бюджетное учреждение "Национальный исследовательский центр "Курчатовский институт", 123182 Москва, Россия

\*Физический факультет, МГУ имени М.В. Ломоносова, 119991 Москва, Россия

Российский квантовый центр, 143025 Сколково, Москва, Россия
 Поступила в редакцию 4 июня 2024 г.
 После переработки 27 августа 2024 г.
 Принята к публикации 4 сентября 2024 г.

Экспериментально продемонстрирована возможность получения узконаправленного высокоэнергетичного электронного пучка, получаемого при взаимодействии тераваттного излучения Ті:Sa лазерного комплекса с азотной газо-кластерной струей при давлении газа, соответствующем границе области конденсации. Получен колимированный электронный пучок с энергией до 10 МэВ и расходимостью  $\sim 10$  мрад при концентрации плазмы  $\sim 10^{19}$  см $^{-3}$ . Показано, что применение азота существенно улучшает пространственные (расходимость) и энергетические (заряд и форма спектра) свойства генерируемого пучка электронов по сравнению с аргоном и криптоном. Выполнен термодинамический анализ образования и состава, формируемых в сверхзвуковой струе кластеров.

DOI: 10.31857/S0370274X24100028, EDN: UWTFOY

1. Введение. В настоящее время активно ведутся исследования, направленные на создание источников лазерно-ускоренных электронов [1]. Пучки электронов с энергией в десятки и более МэВ [1–3], генерируемые тераваттными лазерными системами, востребованы для генерации гамма-квантов [1, 3], пучков ионов [4] и нейтронов [5, 6]. Наиболее распространенным является способ лазерного кильватерного ускорения (LWFA), который предполагает использование излучения сфокусированного мощного фемтосекундного лазера в газе низкой плотности. Недавно был предложен метод ускорения электронов, инжектируемых в нелинейную плазменную волну, генерируемую в газо-кластерных струях [7–10], в которых образующиеся при расширении газа в вакуум кластеры представляют собой частицы нанометрового размера. Для оценки размеров кластеров обычно ограничиваются теорией Хагены, применимой в газовой фазе [11-14]. Было показано, что присутствие наночастиц увеличивает плотность заряда. Таким образом, наличие наночастиц, к семейству которых относятся и атомно-молекулярные кластеры [11, 15, 16], может привести к возникновению нового механизма инжекции, повышающему заряд и энергию электронов в пучке. Преимущество в использовании газо-кластерных струй определяется низким порогом для самофокусировки лазерного излучения, более эффективным нагревом мишени, обеспечивающим высокую электронную температуру формирующейся плазмы, возможностью управления размерами кластеров перестройкой давления. Переход от использования в качестве лазерных мишеней струй "легких" газов (водород, гелий) к "тяжелым" (азот, аргон, криптон) связан со стремлением к увеличению заряда пучка ускоренных электронов за счет наращивания плотности плазмы [12, 17].

Характерный заряд электронного пучка, генерируемого в газовых мишенях, составляет 10–100 пКл, при расходимости 5–10 мрад [18–20]. При использовании кластерных мишеней заряд может возрастать до единиц нКл, но расходимость увеличивается до 10–100 мрад [12, 13, 17]. Поэтому задача нахождения условий, при которых одновременно достигается высокий заряд и малая расходимость пучка электронов для воздействующего лазерного импульса с энергией в сотни мДж становится актуальной. Достигнутые к настоящему времени эффективности по заряду электронного пучка составляют около 0.2 пКл/Дж для газовых [18–21] и 1 пКл/Дж – для кластерных мишеней [12, 13, 17]. При учете угловой расходимо-

<sup>&</sup>lt;sup>1)</sup>e-mail: nazarovmax@mail.ru

сти и спектральной ширины, характерная "яркость" электронного пучка составляет  $10^{-3}$  пКл/МэВ/мрад [18, 20]. Рабочим газом в данной работе выбран азот, как один из нескольких перспективных газов для лазерного ускорения электронов, он часто используется как малая добавка к гелию [10, 22], реже в чистом виде в газовых мишенях [20, 21, 23], а при использовании газо-кластерных струй [11, 12, 14, 24] мало исследован.

Предметом настоящего письма является экспериментальная демонстрация возможности получения электронного пучка с высокими зарядом и направленностью при взаимодействии излучения тераваттного Ti:Sa лазера с кластерами азота и определение влияния пограничного состояния конденсации азота на процесс ускорения.

2. Формирование агрегатов азота в расширяющейся сверхзвуковой струе. В данной работе при выборе условий эксперимента впервые использован подход, позволяющий формировать в зоне взаимодействия газо-кластерной струи с лазерным пучком (вблизи среза сопла) агрегаты с заданными свойствами (кластеры, нанокапли, кристаллы). Была использована квазиодномерная газодинамическая модель сверхзвукового течения реального газа в коническом сопле [25], позволяющая рассчитать температуры азота вблизи среза сопла при разных начальных давлениях  $P_0$  и температурах  $T_0$ . В процессе расширения (движение газа вдоль оси сопла по координате z) изображающая точка движется вдоль определенной изэнтропы, заданной начальным давлением, до выхода из сопла ( $z=10\,\mathrm{mm}$ ). Анализ поведения изэнтроп на (P, T)-диаграмме состояния азота (рис. 1) показывает, что при давлениях, превышающих 30 бар в месте лазерного воздействия начнет эффективно формироваться жидкий конденсат. При меньших давлениях, когда изображающая точка не подходит к кривой испарения, азот будет оставаться в газовой фазе с присущими ей низкими концентрациями кластеров малых размеров.

Вычисления выполнены для уравнения состояния Редлиха–Квонга [26], значение теплоемкости бралось из данных NIST [27]. Рассчитанные на основе модели значения температур на срезе сопла (черная штрихованная линия на (P,T) диаграмме азота (см. рис. 1) и анализ поведения соответствующих изэнтроп позволяет получить качественные данные о составе струи и условиях зарождения кластеров. Для оценки размеров кластеров выполнены также расчеты по теории Хагены [14] с параметром  $\kappa=528$  для азота. Расчеты ориентированы на использование конического сопла с малым углом раствора  $2\alpha=10^\circ$  (крити-

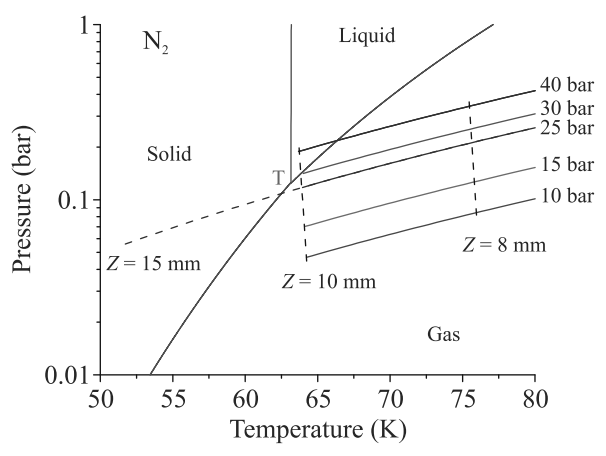


Рис. 1. (Цветной онлайн) (P,T)-диаграмма состояния азота с изэнтропами расширения

ческое сечение  $d_{\rm cr}=700\,{\rm mkm}$ , длина  $Z_s=10\,{\rm mm}$ ). Оценки показывают, что при условиях до начала конденсации ( $10 < P_0 < 30\,{\rm fap}$ ,  $T_0=298\,{\rm K}$ ) средние радиусы кластеров должны изменяться в диапазоне 3–8 нм. Особенность резкого появления кластеров вблизи кривой испарения должна проявиться не только в выходе электронов, но и выходе рентгеновского излучения. Такое предположение подтверждается исследованиями ускорения электронов в газокластерной струе водорода [28].

3. Методика измерений. Схема эксперимента представлена на рис. 2. Использовалось излучение мульти-тераваттного Ti:Sa лазерного комплекса НИЦ "Курчатовский институт" ( $\lambda_0 = 800 \, \mathrm{нм}$ , длительность импульсов  $\tau = 30 \, \text{фc}$ , при частоте повторения 10 Гц) [29, 30]. Наносекундный контраст импульсов составлял  $10^8$ , а пикосекундный –  $10^7$  [31]. Оптические импульсы с энергией  $E \leq 160 \,\mathrm{мДж}$  заводились в камеру взаимодействия, давление в которой поддерживалось на уровне  $10^{-2}$  мбар. Фокусировка осуществлялась внеосевым параболическим зеркалом с фокусным расстоянием  $18 \, \text{см} \, (F/4)$  в пятно диаметром 8 мкм, что обеспечивало релятивистскую лазерную интенсивность  $I \le 5 \times 10^{18} \, \mathrm{Br/cm^2}$ . Длина перетяжки в вакууме составила  $L_R \sim 200$  мкм. Кластерная мишень формировалась в коническом сопле, описанном в разделе 2. Клапан сопла открывался синхронно с лазерным импульсом на 1 мс. Ускоренные электроны регистрировались на сцинтилляторе, защищенным от засветок алюминиевой фольгой толщиной 10 мкм, область свечения передавалась широкоапертурным объективом на ПЗС-камеру CCD-1. Анализируемым сигналом являлась яркость кадра в области  $200 \times 200 \,\mathrm{мрад^2}$ , захватывающей заведомо весь пучок, пропорциональная суммарному выходу электронов, то есть полному заряду их пакета. Для

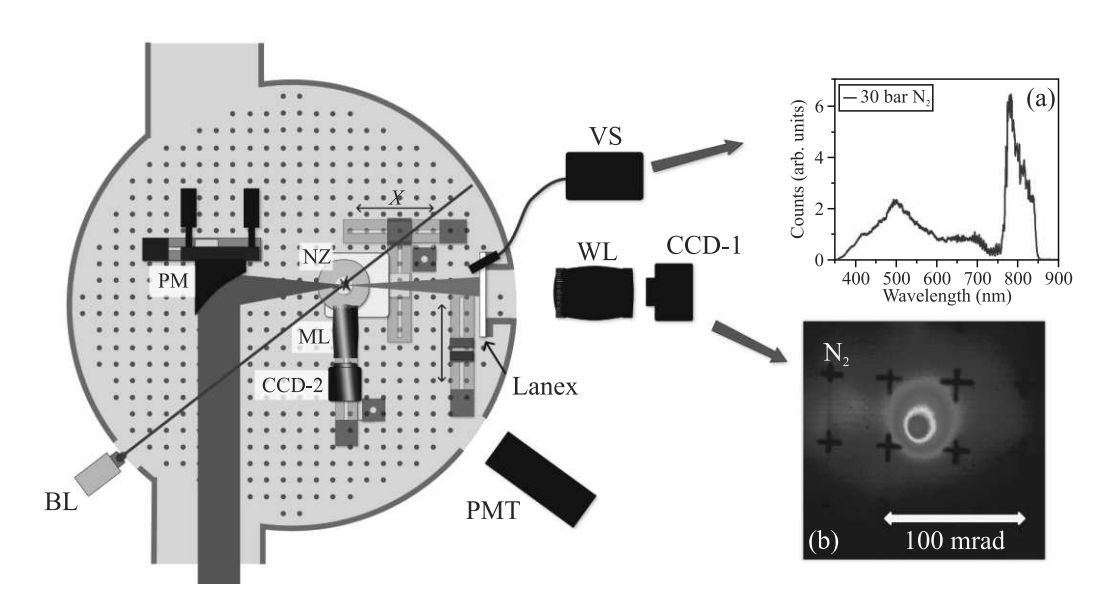


Рис. 2. (Цветной онлайн) Схема эксперимента. РМ – внеосевое параболическое зеркало; МL – макрообъектив; WL – фотообъектив; NZ – сопло с клапаном; РМТ рентгеновский ФЭУ; BL – синий лазер для наблюдения рэлеевского рассеяния; VS и CCD – спектрометр и ПЗС видимого диапазона. Вставка (а) – спектр видимого диапазона рассеянного излучения Ті:Sa лазера. Вставка (b) – изображение пучка электронов, регистрируемое на CCD-1

**Таблица 1.** Характеристики газо-кластерных сред (начальное давление  $P_0 = 30\,\mathrm{бар}$ , температура  $T_0 = 298\,\mathrm{K}$ )

Параметр/газ	$N_2$	Ar	Kr
Атомный номер	7	18	36
Кратность ионизации при $I=2\times 10^{18}~\mathrm{Br/cm^2}$	5+	8+	15+
Концентрация электронов в центре мишени $n_e$ , см <sup>-3</sup>	$0.5 \times 10^{20}$	$1 \times 10^{20}$	$2.6 \times 10^{20}$
Средний радиус кластеров, $R_{\rm cl}$ , нм	6.8	20	25
Предельная концентрация кластеров, $n_{\rm cl}$ см $^{-3}$	$30 \times 10^{13}$	$1.3 \times 10^{13}$	$1 \times 10^{13}$

определения энергетического спектра электронов в выходящий луч вдвигался магнитный спектрометр с величинами поля 0.1 и 0.15 Тл и длиной магнита 2 см, данные двух измерений объединялись в итоговый спектр в диапазоне 0.3–10 МэВ [30]. Кластеризация в струе контролировались по величине рэлеевского рассеяния (см. рис. 3) от непрерывного лазерного излучения ( $\lambda_P = 430\,\mathrm{Hm}$ ). Изображение области рассеяния, а также форма плазменного филамента фиксировалась ПЗС камерой CCD-2 с макрообъективом и сменными нейтральными фильтрами в видимом диапазоне. Спектральные характеристики прошедшего мишень дазерного издучения регистрировались волоконным спектрометром. Также регистрировалось рентгеновское излучение [29]. Экспериментальные исследования проводились в азоте, аргоне и криптоне при одинаковых условиях. Характеристики газов приведены в табл. 1.

**4. Результаты и обсуждение.** Диагностика формирования кластеров азота проводилась с помощью регистрации рэлеевского рассеяния. Сигнал рассеяния  $S_R$  связан с концентрацией кластеров  $n_{\rm cl}$ 

и средним радиусом кластера  $R_{\rm cl}$  как  $S_R \sim n_{\rm cl} R_{\rm cl}^6$  [26]. По распределению яркости в области рассеяния определялось распределение кластеров в струе азота (см. зеленую кривую на рис. 3). Вследствие слабой кластеризации в газовой фазе зарегистрировать рассеяние в азоте при  $P_0 < 30$  бар не удалось. Отметим, что при давлении  $P_0 = 40$  бар, и температуре  $T_0 = 298\,{\rm K}$ , сигнал рассеяния в струе азота на 3 порядка слабее, чем в аргоне и криптоне. Из отношения сигналов рассеяния и из размера кластера аргона ( $R_{\rm cl\,Ar} \approx 25\,{\rm hm}$ ), определенного ранее [26], оценивался размер кластеров азота  $R_{\rm cl\,N_2} \approx 8\,{\rm hm}$  в предположении близких величин  $n_{\rm cl}$ . Приведенная оценка согласуется с теорией Хагены.

Заряд электронного пучка увеличивается при приближении лазерного излучения к срезу сопла по оси z на расстояние 0.5 мм, а по оси x оптимум фокусировки находится на переднем краю кластерной струи (примерно в x=-1.2 мм от оси сопла, см. рис. 3). Поскольку длина перетяжки (200 мкм) соизмерима с масштабом изменения концентрации кластеров в короткофокусной геометрии, сдвиг лазерного

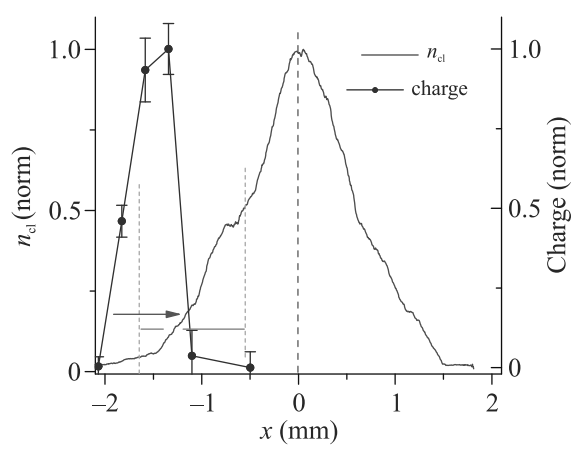


Рис. 3. (Цветной онлайн) Профиль рассеяния в кластерной струе азота при давлении 40 бар. Оранжевый отрезок обозначает начало и окончание наблюдаемого филамента. Синие кружки – заряд электронов при смещении вакуумной перетяжки в данную точку x. Красная стрелка – положение вакуумной перетяжки в оптимальном случае

фокуса на 200 мкм меняет длину и форму плазменного канала, что существенно влияет на выход электронов. До достижения лазерным импульсом области фокусировки с высокой концентрацией кластеров нужно предотвратить потери энергии на нагрев плазмы в фронтальном объеме мишени. Оптимальная точка фокусировки находится на входе в образуемый плазменный канал, это определяется компромиссом между плотностью вещества в перетяжке, плазменной дефокусировкой и интенсивностью.

Пороговая мощность лазерного излученаступления релятивисттребуемая ДЛЯ самофокусировки, оценивается формулой  $P_{
m las~cr} = 17.4 (n_{
m cr}/n_e)\,\Gamma {
m Br}~[1,~18],$  где  $n_{
m cr}$  – критическая концентрация плазмы (для  $\lambda = 0.8\,\mathrm{mkm}$  $n_{\rm cr} \approx 1.7 \times 10^{21} \, {\rm cm}^{-3}$ ). Для  $n_e = 2 \times 10^{19} \, {\rm cm}^{-3}$  и используемой лазерной мощности  $P_{\rm las}=5\,{\rm TBr}$ превышение над критическим уровнем мощности в нашей работе составляет  $P_{\rm las}/P_{\rm las}$  cr = 2, это согласуется с границей появления канала при  $P_0 > 20\,{\rm fap},$ данными по  $n_e$ ,  $n_{\rm at}$  из табл. 1 и на рис. 4. Протяженность плазменного канала составляет порядка 0.7 мм для всех трех газов, рис. 5. Длина и положение плазменного канала определяется в первую очередь распределением концентрации электронов и соответствующей самофокусировкой основного импульса, что видно в Томсоновском рассеянии (свечении канала) – рис. 4 и 5. При равных давлениях до клапана свечение канала в газо-кластерной струе азота было на порядок слабее, чем в криптоне, что подтверждает данные об относительных величинах  $n_e$  из табл. 1.

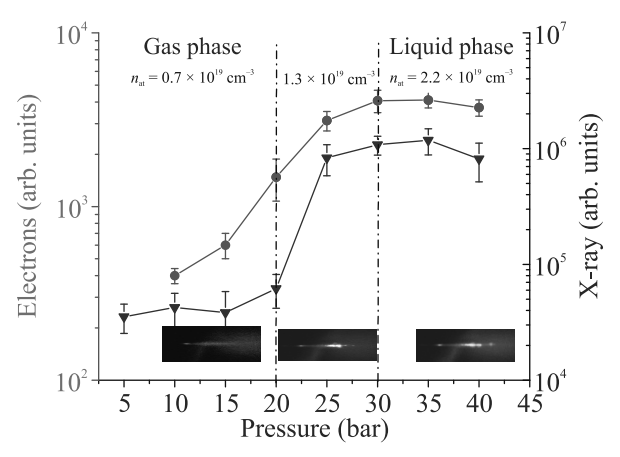


Рис. 4. (Цветной онлайн) Зависимости заряда пучка электронов и энергии рентгеновского импульса от давления азота  $P_0$ . На вставках свечение филамента и концентрация атомов при давлениях 15, 25 и 40 бар

В области лазерной перетяжки наблюдался темный участок, разрывающий канал (оранжевый отрезок на рис. 3 и верхняя панель на рис. 5), связанный с разрушением кластеров предымпульсом [32–34]. Интенсивность предымпульса  $I \approx 10^{12}\,\mathrm{Br/cm^2}$  [31] достаточна для кулоновского разлета кластеров [35]. При этом время разлета составляет  $\approx 10 \,\mathrm{nc}$  [15]. Предымпульс не испытывает релятивистской самофокусировки, следовательно, не может разрушать кластеры за пределами лазерной перетяжки. Таким образом в областях, где наблюдается свечение плазменного канала, кластеры сохраняются до прихода основного импульса. Темную область можно смещать вдоль канала с помощью фокусировки лазера в определенное положение х. Из зависимости выхода электронов от x (на рис. 3) можно оценить вклад кластеризованной фазы азота в процесс ускорения. При максимальном выходе электронов ( $x = -1.3 \,\mathrm{MM}$ ) перетяжка и область разрушения кластеров находятся на переднем крае канала и занимают малую его часть (x = -1.4 - 1.2, см. рис. 5 верхний слева), плазменный канал располагается ближе к центру струи и имеет в несколько раз большую протяженность (x = -1.2 - 0.5). Если же область разрушения кластеров вдвинуть в средину канала (x = -1), выход электронов существенно падает (см. точку x = -1 на синей кривой на рис. 3). При том, что концентрация вещества в объеме взаимодействия еще не падает существенно к моменту прихода основного импульса. Это показывает преимущество именно кластерного состояния мишени для процесса ускорения.

На основании анализа, проведенного в разделе 2, исследовалось влияние появления кластеров азота (задаваемое  $P_0$ ) на процесс ускорения электро-

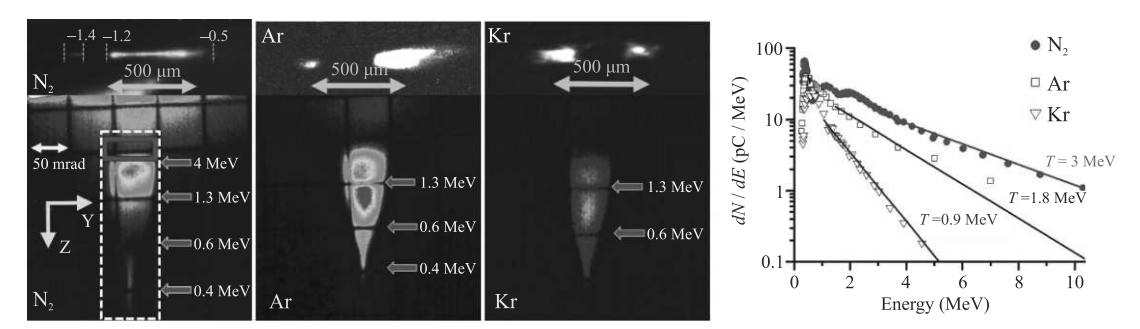


Рис. 5. (Цветной онлайн) Верхний ряд — изображение лазерно-плазменного свечения в области перетяжки в азоте (слева), аргоне (по центру), криптоне (справа), при давлении  $P_0 = 30$  бар, пунктирные линии для  $N_2$  отмечают границы канала, его разрыва и значение координаты x. Нижний ряд — энергетически-угловой спектр электронов при магнитном поле  $B_y = 0.1$  Тл. Входная апертура спектрометра обозначена красным прямоугольником, область оцифровки сигнала — белым прямоугольником. Зеленые стрелки указывают расчетную энергию электронов для смещений с шагом сетки 1 см. Справа на графике приведены восстановленные энергетические спектры электронов. Экспериментальные точки отмечены кружками (азот), квадратами (аргон), треугольниками (криптон). Линии соответствуют экспоненциальной аппроксимации с температурой  $0.9 \, \mathrm{MəB}$  (синяя кривая),  $1.8 \, \mathrm{MəB}$  (черная) и  $3 \, \mathrm{MəB}$  (красная)

нов. При малой концентрации и размерах кластеров в азоте не образовывался плазменный канал (см. вставку для 15 бар на рис. 4). При увеличении давления  $P_0 > 20$  бар канал становился протяженным и узким, при этом наблюдался существенный рост заряда пучка электронов (см. рис. 4), сопровождающийся резким увеличением выхода рентгеновского излучения, указывающий на появление кластеров в струе [36]. Действительно, вследствие наличия твердотельной локальной плотности кластеры гораздо эффективнее газа нагреваются в сверхсильных световых полях [11], что приводит к излучению жестких тормозных фотонов с энергией несколько кэВ [29, 37, 38]. Обнаружено, что изменение давления в области перехода газ-жидкость с  $P_0 = 10-20\,\mathrm{бар}$  на  $P_0 = 30\,{\rm бар}$  приводит к росту в  $\approx 7$  раз заряда пучка ускоренных электронов и  $\approx 30$  раз выхода рентгеновских фотонов (см. рис. 4). Мы связываем резкое увеличение выхода жесткого рентгеновского излучения с активной кластеризацией в области фазового перехода ( $P_0 = 20-30$  бар), где протекает зарождение кластеров для перехода в жидкую фазу. Создание же жидкой фазы (увеличение давления > 30 бар) не обеспечивает ни дальнейшего роста заряда электронов, ни повышения выхода рентгеновских фотонов. При этом форма и яркость создаваемого плазменного канала перестает меняться для давлений > 25 бар, см вставки на рис. 4.

Оценим концентрацию плазмы в оптимальном случае. Согласно теории Хагены среднее количество атомов в кластере [14] составляло  $N_{\rm cl}=3\times 10^4$ . Из концентрации атомов азота  $n_{\rm at}=10^{19}\,{\rm cm}^{-3}$ , вычисленной для области фазового перехода ( $P_0=30\,{\rm fap}$ ,  $T_0=298\,{\rm K}$ ), получаем оценку предельной концен-

трации кластеров  $n_{\rm cl}=n_{\rm at}/N_{\rm cl}\approx 3\times 10^{14}\,{\rm cm}^{-3}.$  Принимая во внимание, что лазерное воздействие производится на фронте струи, где плотность кластеров составляет примерно  $20\,\%$  от максимальной (см. рис. 3), в лазерном филаменте останется  $n_{\rm cl}\approx 7\times 10^{13}\,{\rm cm}^{-3}.$  Средняя концентрация плазмы, возникающая при ионизации кластеров до Z=+5, будет соответствовать  $n_e\sim 10^{19}\,{\rm cm}^{-3}.$ 

Уширение спектра видимого диапазона (вставка на рис. 2) свидетельствует об изменяющейся во времени концентрации электронов плазмы и показателе преломления [39, 40]. Из этого уширения можно независимым способом оценить концентрацию плазмы [41], величина которой ( $n_e = 0.16 \times 10^{20} \, \mathrm{cm}^{-3}$ ) не противоречит рассчитанной выше.

$$n_i = -\frac{8\pi^2 \,\varepsilon_0 \,m_e \,c^3 \,\Delta\lambda \,dt}{e^2 \,\lambda_0^3 \,L \,dZ},\tag{1}$$

где

$$n_e = n_i \cdot Z,\tag{2}$$

 $n_i$  — концентрация ионов,  $\Delta\lambda$  — величина синего уширения видимого спектра ( $-400\,\mathrm{Hm}$ ),  $m_e$ , e — масса и заряд электрона,  $dZ=5,\,dt\approx \tau=30\,\mathrm{фc},\,L=650\,\mathrm{мкm}$  — длина взаимодействия.

Оценим заряд пучка. Для изображения электронного пучка на рис. 2, суммарный сигнал на ПЗС камере Gentec Beamage 4M составил  $3\times 10^8$  отсчетов (при сборе с экрана в телесный угол  $0.1\,\mathrm{cp}$ ), при этом полезный сигнал до экрана имеет расходимость  $\sim 10\,\mathrm{mpag}$  по осям Y и Z;  $50\,\%$  яркости кадра содержится в пределах  $\pm 10\,\mathrm{mpag}$  от оси пучка. При фактической чувствительности  $0.26\,\mathrm{otc}$  отсчет/фотон, используя литературную калибровку экрана Kodak

Lanex Regular,  $7\times10^9$  фот/ср/пКл [42], получаем полный заряд порядка 100 пКл, из них 50 пКл в колимированной части пучка электронов.

Энергетический спектр электронов восстанавливался по отклонению в магнитном поле  $B_y = 0.1\,\mathrm{Tr}$ в направлении оси Z на рис. 5. Анализировалась просуммированная в направлении У яркость в зависимости от Z в области белого прямоугольника. Артефактное отклонение в направлении У (квадрупольная фокусировка) вызвано малыми полями  $B_z \sim 2\,\mathrm{mTr}$ , оно не превышает апертуры детектора (50 мрад) и нивелируется суммированием в направлении Ү. Детали вычисления энергетического спектра приведены в работе [30]. Для азота получен спектр с четко выделенным максимумом на 0.4 МэВ. за ним локальным минимумом и экспоненциально спадающим "хвостом" до 10 МэВ (см. рис. 5). Анализ формы спектра показывает, что 80% заряда, что соответствует 40 пКл, находится в коллимированном пучке релятивистских электронов с энергией более 1 МэВ. Полученная оценка соответствует мировому уровню эффективности генерации заряда  $\sim 0.3 \, {\rm HK}_{\rm J}/{\rm Д}$ ж для тераваттных лазерных систем. При этом спектральная плотность заряда имеет порядок 10 пКл/МэВ, а с учетом угловой расходимости  $\sim 1\,\mathrm{пK}\mathrm{л/M}$ эВ/мрад.

Выделяют два механизма ускорения электронов для газо-кластерных мишеней: DLA - прямое лазерное ускорение [17, 32, 33], при котором характерен широкий, экспоненциально спадающий спектр распределения по энергиям, расходимость пучка  $\sim 100\,{\rm мрад},\,\,$ концентрация плазмы  $10^{19}$  <  $n_e$  < $< 10^{21}\,{\rm cm}^{-3}$  и автомодулированное ускорение в поле кильватерной волны (SM-LWFA), концентрация плазмы при этом  $n_e$  ограничена величиной порядка  $10^{18}$ – $10^{19}$  см<sup>-3</sup> [12, 13, 18, 34]. Во втором случае возможно моноэнергетическое ускорение электронов, а расходимость пучка  $\sim 10$  мрад, заряд становится меньше по сравнению с режимом DLA. На основании сопоставления электронных спектров и расходимости пучка с данными работ [43, 44] можно ожидать, что для кластеров азота реализуется гибридный режим с двумя механизмами ускорения: SM-LWFA и DLA. В больших кластерах Ar и Kr  $(R_{\rm cl} = 20 \text{ и } 25 \text{ нм соответственно [26]})$  при этой же геометрии доминирует DLA механизм с большой (100 мрад) расходимостью пучка и меньшими зарядом и энергией электронов. Заряд электронного пучка для случая азота оказался наибольшим (в 1.3 раза больше, чем в кластерах аргона и в 4 раза больше, чем в кластерах криптона). Сравнение газов показывает, что увеличение плотности плазмы и наращивание размеров кластеров не приводят к улучшению ни заряда, ни энергии, ни расходимости пучка электронов. Мы считаем, что данный результат обусловлен тем, что именно свойства границы области конденсации в азоте позволяют формировать кластеры оптимальных размеров при достаточной их концентрации для инжекции электронов в ускоряющую волну. Действительно, оценки на основании работы [45] показывают, что для кластеров азота с  $R_{\rm cl}=7$  нм наступает предел кулоновского взрыва, т.е. полного вылета электронов из кластера за время действия лазерного импульса.

Заключение. В результате проведенных экспериментально продемонстривозможность эффективной рована генерации коллимированного электронного пучка с расходимостью  $\sim 10$  мрад, полным зарядом более  $100\,\mathrm{nK}$ л и максимальным уровнем энергии ~ 10 МэВ при взаимодействии тераваттного Ti:Sa лазерного излучения релятивистской интенсивности  $5 \times 10^{18} \, \mathrm{Br/cm^2}$  с кластерами азота оптимального ( $\sim 7 \, \text{нм}$ ) радиуса, полученными за счет выбора давления газа. Создание кластеризованной среды на границе области конденсации позволило увеличить заряд пучка в 7 раз по сравнению с газовой фазой. Выполнен термодинамический анализ размера, концентрации и фазового состояния агрегатов азота, найдены условия  $(P_0 = 30 \, \text{бар}, T_0 = 298 \, \text{K}, \, \phi$ окусировка на передний край струи за 1.2 мм от оси сопла), при которых формируется кластерная среда, позволяющая осуществлять эффективную инжекцию и ускорение электронов.

Финансирование работы. Работа в части исследования спектров электронов выполнена при поддержке Министерства науки и высшего образования Российской Федерации в рамках соглашения # 075-15-2022-830 от 27 мая 2022 г., в части исследований формы плазменного канала в рамках государственного задания Национального исследовательского центра "Курчатовский институт".

**Конфликт интересов.** Авторы данной работы заявляют, что у них нет конфликта интересов.

<sup>1.</sup> T. Tajima, X. Q. Yan, and T. Ebisuzaki, Rev. Mod. Plasma Phys. 4, 7 (2020).

I. Y. Kostyukov and A. M. Pukhov, Phys.-Uspekhi 58, 81 (2015).

<sup>3.</sup> F. Albert, Phys. Plasmas  $\bf 30$ , 050902 (2023).

<sup>4.</sup> Т.А. Семенов, И.М. Мордвинцев, С.А. Шуляпов, Д.А. Горлова, А.В. Лазарев, К.А. Иванов, М.С. Джиджоев, А.Б. Савельев, В.М. Гордиенко, Оптика и спектроскопия **131**, 222 (2023).

- Y. Li, J. Feng, W. Wang, J. Tan, X. Ge, F. Liu, W. Yan, G. Zhang, C. Fu, and L. Chen, High Power Laser Sci. Eng. 10, e33 (2022).
- W.-Z. Wang, J. Feng, X.-P. Zhang, Y.-J. Li, W.-J. Zhou, W.-C. Yan, G.-Q. Zhang, C.-B. Fu, and L.-M. Chen, High Power Laser Sci. Eng. 12, e11 (2024).
- M. H. Cho, V. B. Pathak, H. T. Kim, and C. H. Nam, Sci. Rep. 8, 16924 (2018).
- 8. M. W. Mayr, B. Spiers, R. Aboushelbaya, R. W. Paddock, J. D. Sadler, C. Sillett, R. H. W. Wang, K. Krushelnick, and P. A. Norreys, Phys. Rev. Accel. Beams 23, 093501 (2020).
- C. Aniculaesei, V.B. Pathak, K.H. Oh, P.K. Singh,
   B.R. Lee, C.I. Hojbota, T.G. Pak, E. Brunetti,
   B.J. Yoo, J.H. Sung, S.K. Lee, H.T. Kim, and
   C.H. Nam, Phys. Rev. Appl. 12, 044041 (2019).
- Z. Lécz, A. Andreev, and N. Hafz, Phys. Rev. E 102, 053205 (2020).
- T. Ditmire, T. Donnelly, A. M. Rubenchik,
   R. W. Falcone, and M. D. Perry, Phys. Rev. A
   53, 3379 (1996).
- M. Mirzaie, N. A. M. Hafz, S. Li, F. Liu, F. He, Y. Cheng, and J. Zhang, Rev. Sci. Instrum. 86, 103502 (2015).
- L. M. Chen, W. C. Yan, D. Z. Li et al. (Collaboration), Sci. Rep. 3, 1912 (2013).
- K. C. Gupta, N. Jha, P. Deb, D.R. Mishra, and J. K. Fuloria, J. Appl. Phys. 118 (2015).
- 15. В.П. Крайнов, Б.М. Смирнов, М.Б. Смирнов, Успехи физических наук **177**, 953 (2007).
- Д. А. Гожев, С. Г. Бочкарев, В. Ю. Быченков, Письма в ЖЭТФ 114, 233 (2021).
- P. Koester, G. Bussolino, G. Cristoforetti, A. Faenov, A. Giulietti, D. Giulietti, L. Labate, T. Levato, T. Pikuz, and L. Gizzi, Laser Part. Beams 33, 331 (2015).
- A. J. Goers, G. A. Hine, L. Feder, B. Miao, F. Salehi, J. K. Wahlstrand, and H. M. Milchberg, Phys. Rev. Lett. 115, 194802 (2015).
- D. E. Cardenas, S. Chou, E. Wallin, J. Xu, L. Hofmann, A. Buck, K. Schmid, D. E. Rivas, B. Shen, A. Gonoskov, M. Marklund, and L. Veisz, Phys. Rev. Accel. Beams 23, 112803 (2020).
- M.-W. Lin, T.-Y. Chu, Y.-Z. Chen, D. K. Tran, H.-H. Chu, S.-H. Chen, and J. Wang, Phys. Plasmas 27, 113102 (2020).
- J. Kim, Y. H. Hwangbo, and K. N. Kim, Plasma Phys. Control. Fusion 60, 034008 (2018).
- C. McGuffey, A. G. R. Thomas, W. Schumaker, T. Matsuoka, V. Chvykov, F. J. Dollar, G. Kalintchenko, V. Yanovsky, A. Maksimchuk, K. Krushelnick, V. Yu. Bychenkov, I. V. Glazyrin, and A. V. Karpeev, Phys. Rev. Lett. 104, 025004 (2010).
- B. S. Rao, A. Moorti, J. A. Chakera, P. A. Naik, and P. D. Gupta, Plasma Phys. Control. Fusion 59, 065006 (2017).

- S. Namba, N. Hasegawa, K. Nagashima, T. Kawachi, M. Kishimoto, K. Sukegawa, and K. Takiyama, Phys. Rev. A 73, 013205 (2006).
- К.В. Брушлинский, Математические основы вычислительной механики жидкости, газа и плазмы, Дом Интеллект, Долгопрудный (2017).
- A. V. Lazarev, T. A. Semenov, E. D. Belega, and V. M. Gordienko, J. Supercrit. Fluids 187, 105631 (2022).
- 27. NIST Chemistry WebBook, National Institute of Standards and Technology, USA (2023) http://webbook.nist.gov.
- B. Aurand, L. Reichwein, K.M. Schwind, E. Aktan, M. Cerchez, V. Kaymak, L. Lessmann, R. Prasad, J. Thomas, T. Toncian, A. Khoukaz, A. Pukhov, and O. Willi, New J. Phys. 24, 033006 (2022).
- П. А. Щеглов, М. М. Назаров, Т. А. Семенов, А. А. Таусенев, М. В. Чащин, А. В. Лазарев, В. М. Гордиенко, Квантовая электроника 54, 236 (2024).
- 30. А. А. Таусенев, П. А. Щеглов, М. В. Чащин, А. В. Лазарев, Т. А. Семенов, М. М. Назаров, Ученые записки физического факультета **3**, 2431001 (2024).
- А. В. Митрофанов, М. В. Рожко, М. М. Назаров, Н. В. Якушкин, Я. О. Романовский, А. А. Воронин, А. Б. Федотов, Д. А. Сидоров-Бирюков, Вестник Московского университета. Серия 3. Физика. Астрономия 79, 2430401 (2024).
- 32. Y. Fukuda, Y. Akahane, M. Aoyama et al. (Collaboration), Phys. Lett. A 363, 130 (2007).
- A. Pukhov, Z.-M. Sheng, and J. Meyer-ter Vehn, Phys. Plasmas 6, 2847 (1999).
- B. Hidding, M. Geissler, G. Pretzler, K.-U. Amthor,
   H. Schwoerer, S. Karsch, L. Veisz, K. Schmid, and
   R. Sauerbrey, Phys. Plasmas 16, 043105 (2009).
- 35. S. Das, P. Sharma, R. Singh, R. K. Vatsa, and V. K. Tripathi, J. Photochem. Photobiol. **404**, 112884 (2021).
- V. M. Gordienko, M. S. Dzhidzhoev, I. A. Zhvaniya, V. T. Platonenko, D. N. Trubnikov, and D. O. Fedorov, Europ. Phys. J. D. 67, 1 (2013).
- 37. Т. А. Семенов, К. А. Иванов, А. В. Лазарев, И. Н. Цымбалов, Р. В. Волков, И. А. Жвания, М. С. Джиджоев, А. Б. Савельев, В. М. Гордиенко, Квантовая электроника **51**, 838 (2021).
- I. A. Zhvaniya, K. A. Ivanov, T. A. Semenov, M. S. Dzhidzhoev, R. V. Volkov, I. N. Tsymbalov, A. B. Savel'ev, and V. M. Gordienko, Laser Phys. Lett. 16 (2019).
- W. M. Wood, G. Focht, and M. C. Downer, Opt. Lett. 13, 984 (1988).
- 40. D. Z. Li, W. C. Yan, L. M. Chen, K. Huang, Y. Ma, J. R. Zhao, L. Zhang, N. Hafz, W. M. Wang, J. L. Ma, Y. T. Li, Z. Y. Wei, J. Gao, Z. M. Sheng, and J. Zhang, Opt. Express 22, 12836 (2014).

- A. Giulietti, A. André, S. Dobosz Dufrénoy, D. Giulietti, T. Hosokai, P. Koester, H. Kotaki, L. Labate, T. Levato, R. Nuter, N. C. Pathak, P. Monot, and L. A. Gizzi, Phys. Plasmas 20, 082307 (2013).
- 42. A. Buck, K. Zeil, A. Popp et al. (Collaboration), Rev. of Sci. Instr. **81**, 033301 (2010).
- D. Hazra, A. Moorti, B.S. Rao, A. Upadhyay, J.A. Chakera, and P.A. Naik, Plasma Phys. Control. Fusion 60, 085015 (2018).
- 44. D. Hazra, A. Moorti, S. Mishra, A. Upadhyay, and J. A. Chakera, Plasma Phys. Control. Fusion **61**, 125016 (2019).
- 45. I. Last and J. Jortner, Chem. Phys. 399, 218 (2012).